

Leggi di Forza

G

$$\vec{F} = m \vec{a}$$

non e' utile se non conosco una Legge di forza che specifica la forza in dipendenza da parametri che descrivono l'interazione tra il corpo di massa m e l'ambiente (o sistema) circostante

- Se nota \vec{F} \Rightarrow Eq. del moto e soluzione
- Se osserva \vec{a} \Rightarrow Poco dovrà la forma di \vec{F} per via empirica

Leggi di Forza !

1) Fondamentali: riconducibili a proprietà innate della materia

- * Gravità
- * F. elettrica
- * F. debola
- * F. Forte

2) Empiriche: riconducibili a forze fondamentali, ma in configurazioni troppo complesse per essere specificate a partire da esse in modo analitico

(2)

Le leggi empiriche sono comunque espresse in forma analitica, ricavate per via empirica, in dipendenza da parametri dettati che descrivono l'interazione corpo - ambiente - Esempi:

- Attrito
- F elastica

(in ultimi analisi dipendono da forze elettriche)

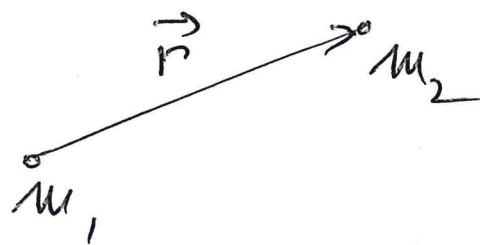
3) Reazioni vincolari: non specificano la forza in modo completo, ma non possono essere ignorate poiché influenzano le condizioni dinamiche e statiche di un corpo - Esempi

- Forza Normale
- ~~Forza~~ Tensione dei fili
- . . .

Esempio di Forza Fondamentale : Gravità

(3)

$$\vec{F}_g = -G \frac{m_1 m_2}{r^2} \frac{\vec{r}}{r}$$



Espressione ricavata a partire dall'osservazione dei moti (accelerazioni) dei pianeti -

Sulla superficie terrestre : Forza peso (empirica)

- Osservazione (empirica) : tutti i corpi cadono (verso il basso) lungo la direzione "verticale" con la medesima accelerazione $g = 9,8 \text{ m/s}^2$
- Da $\vec{F} = m\vec{a}$ infatti l'espressione empirica per la forza peso :

$$\vec{F}_p = -mg \hat{u}_y$$

\hat{u}_y = direzione verticale

Nota: la direzione "verticale" è definita dalla direzione della forza peso (= direzione del filo o Pb)

La verticale non è una direzione fissa, ma dipende dal punto in cui ci si trova sul globo terrestre

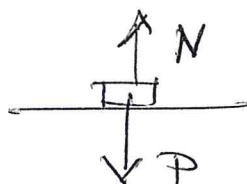
Reazioni vincolari (esempi)

(4)

i) Forza Normale

- * Forza di contatto esercitata da una superficie piana (o più in generale da un vincolo) che impedisce il moto in una direzione -

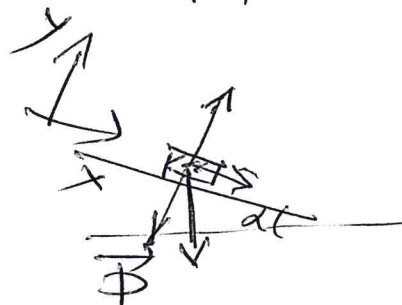
Esempio 1



$$\vec{N} = -\vec{P}$$

per un piano orizzontale

Esempio 2



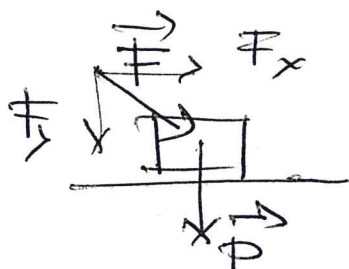
$$N = P \cos \alpha$$

$$P \sin \alpha = m a_x$$

Il vincolo impedisce il moto \perp al piano, ma non il moto tangente al piano (o vice del piano, se ci ponessero forte)

\Rightarrow L'intensità di \vec{N} dipende dalla configurazione

Esempio 3



$$N = \sqrt{F_x^2 + P^2} > P$$

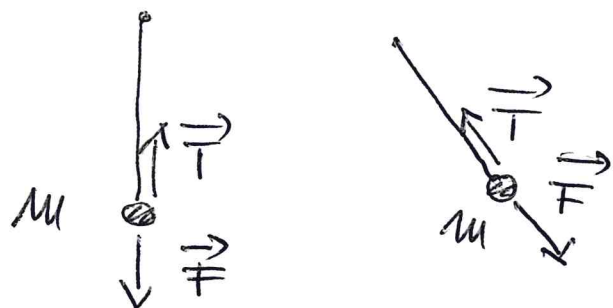
$$F_x = m a_x$$

\Rightarrow L'intensità dipende da F_x e P sotto
dalla RISULTANTE delle FORZE NORMALI

(5)

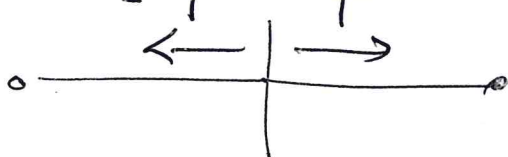
Tensione del filo

Oss. empirica: Si realizzano condizioni statiche ($\ddot{\alpha} = 0$) sotto l'azione di \vec{F} esterne con il filo teso nella direzione di \vec{F}



\Rightarrow Reazione vincolare
del filo che equilibra \vec{F}
 $\vec{T} = -\vec{F}$

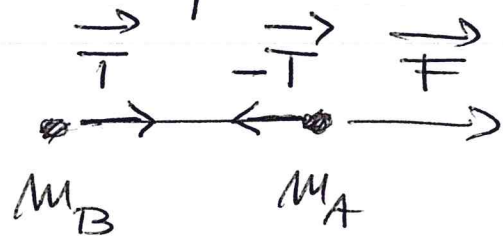
Filo ideale: i) inestensibile, ii) massa nulla
(trascinabile)

- In equilibrio ($\ddot{\alpha} = 0$) in ogni punto
del filo deve essere $\vec{T} = -\vec{T}$
- 
 $\exists \vec{T} \neq 0$ lungo
il filo, perché
se viene tagliato
gli estremi accelerano
- Alle estremità del filo $|\vec{T}| > |\vec{F}|$ con
 \vec{F} forza esterna
- In condizioni statiche $\vec{F} = -\vec{F}$ ai due
estremi

Filo in movimento: $\vec{a} \neq 0$ (6)

- Poiché $m=0$ (filo ideale), in ogni ptg del filo $\sum \vec{F}=0$, ossia $\vec{T} = -\vec{T}$
- ⇒ Filo teso con tensione identica in tutti i punti anche per $\vec{a} \neq 0$
- Però \vec{T} non è uguale alle forze esterne in questo caso, ma il suo valore dipende dalla situazione dinamica

Esempio



- \vec{F} esterna applicata a M_A
- M_A e M_B legate da filo inestensibile
→ stesse accelerazioni

Eg. dinamica (lungo l'asse di \vec{F} e \vec{T}):

$$\text{corpo A: } \vec{F} - \vec{T} = M_A \vec{a}$$

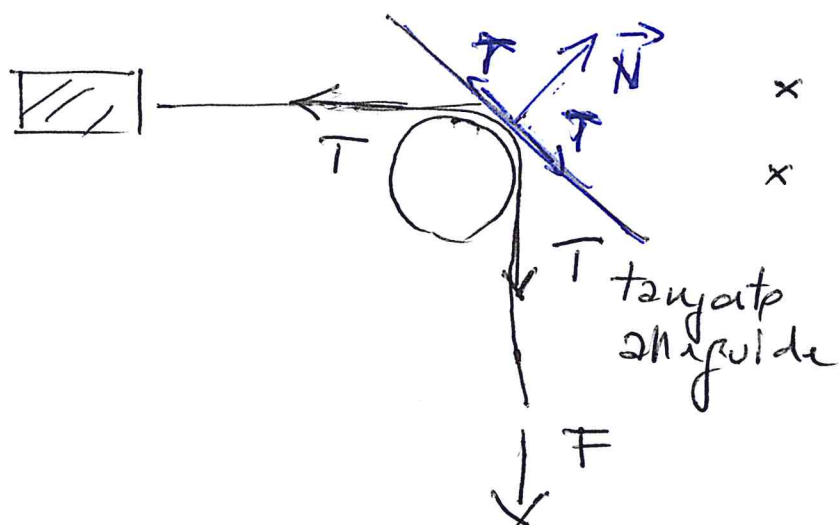
$$\text{corpo B: } \vec{T} = M_B \vec{a}$$

$$\Rightarrow \vec{a} = \vec{F}/(M_A + M_B) \equiv \vec{F}/M_{\text{tot}}$$

$$T = \frac{M_B}{M_A + M_B} \vec{F} < \vec{F} \quad \text{Tensione inferiore a } \vec{F}$$

Fili e guide (pilone di attrito)

(7)



- * Tensione del filo
- * Forza normale delle guide

Per $M_{filo} = 0$, risultante delle forze in ogni punto del filo nulla

Localmente (nel punto), la tensione è diretta lungo la tangente alle guide e $\vec{T} = -\vec{T}$

→ \vec{T} si trasmette lungo il filo

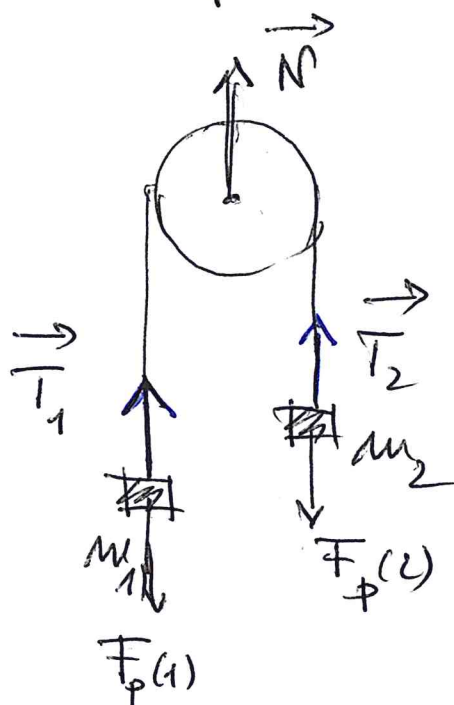
- il modulo è costante
- la direzione è lungo il filo

Per trovare il valore di T e N bisogna risolvere il problema dinamico, caso per caso

Note: Per limitare l'attrito le guide sono spesso equipaggi mobili (cannele)

Esempio : Macchina di Atwood

(P)



$F_p(1)$

$$\cdot \overrightarrow{T_1} = \overrightarrow{T_2} = \overrightarrow{T}$$

stessa
direzione
e modulo

• Filo inestensibile

→ stessa accelerazione verso
~~differenti~~ opposte

$$\cdot \overline{F_p(1)} = M_1 g$$

$$\cdot \overline{F_p(2)} = M_2 g$$

• N sostiene l'equipaggio
ma non agisce su m_1 e m_2

Eq. del moto per m_1 e m_2 (dir. verticale)

$$\left\{ \begin{array}{l} m_1 a = m_1 g - T \\ -m_2 a = m_2 g - T \end{array} \right. \quad \begin{array}{l} (\text{acc. con} \\ \text{segno opposto}) \end{array}$$

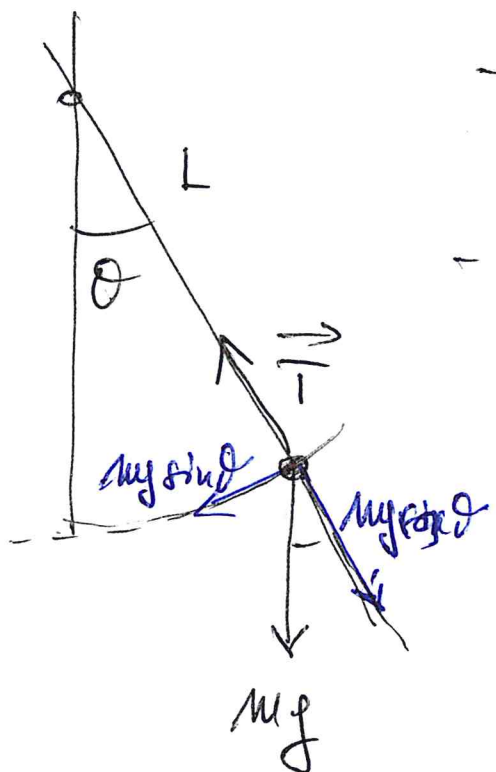
$$\left\{ \begin{array}{l} a = \frac{m_1 - m_2}{m_1 + m_2} g \\ T = 2 \frac{m_1 m_2}{m_1 + m_2} g \end{array} \right. \quad \begin{array}{l} - \text{verso l'alto } m_2 \\ \text{se } m_1 > m_2 \\ - \text{verso l'alto } m_1 \\ \text{se } m_2 > m_1 \end{array}$$

Per $m_1 \approx m_2$ $a \ll g$, metodo

per misurare a con precisione non limitata
dalle precisioni del cronometro (critica nel punto)

Pendolo Semiplice

(2)



- Moto circolare con $R=L$
filo inestensibile

$$- \vec{\omega}_T = \frac{d\theta}{dt} L = \omega L$$

$$\vec{\omega} = \frac{d\theta}{dt} L \hat{u}_\theta$$

$$\vec{a} = \frac{d^2\theta}{dt^2} L \hat{u}_\theta + \left(\frac{d\theta}{dt} \right)^2 L \hat{u}_r$$

$\underbrace{\quad}_{\text{Acc. TANGENZIALE}}$

$\underbrace{\quad}_{\text{Acc. RADIALE}} \quad \text{CENTRIPETA}$

Forze agenti su m : Peso + tensione del filo

Eq. del moto :

Radiale : $\begin{cases} T - mg \cos \theta = m \omega^2 L \\ \text{sgn} \omega^2 \end{cases} \quad (*)$

Tangenziale : $Mg \sin \theta = - m L \frac{d^2\theta}{dt^2} \quad (**)$

(*) Segno dell'acce. contrapposta concorde a \vec{T}

(**) Segni discordi perché la direzione della forza è discorda rispetto al segno di $\vec{\omega}$
(infatti punti verso dx)

(10)

Risolv (*), che non contiene T (ignota a priori) :

$$\frac{d^2\theta}{dt^2} = -\frac{g}{L} \sin\theta$$

- Eq. differenziale che lega $\theta = \theta(t)$ alla sua accelerazione. Situazione differente da quelle incontrate nelle analisi dei moto dove abbiamo trovato $x = x(t)$ a partire da $s = s(t)$ o $a = a(t)$ o $s = s(x)$
- Soluzione generale delle eq. diff. \rightarrow Analisi II.
- Per ora, conosciamo fin' le soluzioni di (*) nel limite di θ piccolo ($\theta < 13^\circ$)
 $\rightarrow \sin\theta \approx \theta$ e l'eq. diventa

(O.A.S.)
$$\frac{d^2\theta}{dt^2} = -\frac{g}{L} \theta$$

- Eq. diff. del moto armonico
- θ prop. alla sua accelerazione

Moto ARMONICO SEMPLICE $\theta = A \cos(\omega_0 t + \varphi)$

(ω_0 = pulsazione fissa)

$$\frac{d^2\theta}{dt^2} = -A\omega^2 \cos(\omega_0 t + \varphi)$$

Sostituendo in (O.A.S) :

$$-\dot{A} \omega_0^2 \cos(\omega_0 t + \varphi) = -\frac{g}{L} A \cos(\omega_0 t + \varphi)$$

Vede per ogni fase φ e ogni tempo t se

$$\cancel{\dot{A}} \quad \omega_0^2 = \frac{g}{L}$$

* Frequenza angolare $\omega_0 = \sqrt{\frac{g}{L}}$ (licep. dalla Masse)

* Periodo $T = \frac{2\pi}{\omega_0} = 2\pi \sqrt{\frac{L}{g}}$

- Freq. angolare e periodo sono definiti dalle condizioni dinamiche e delle geometria

- L'ampiezza dell'oscillazione A , e la fase iniziale φ dipendono dalle condizioni iniziali del moto

Tensione del filo da θ_0 (*)

(12)

$$T(\theta) = mg \cos \theta + m\omega^2 \frac{\theta^2}{L}$$
$$= mg \cos \theta + m \left(\frac{d\theta}{dt} \right)^2 \frac{1}{L}$$

ove $\theta = \theta(t) = A \cos(\omega_0 t + \phi)$

$$\frac{d\theta}{dt} = -A\omega_0 \sin(\omega_0 t + \phi)$$

La soluzione analitica è complicata

$$T(\theta) = mg \cos(\theta(t)) + m A \omega_0^2 \frac{1}{L} \sin^2(\omega_0 t + \phi)$$

In termini qualitativi -

ω_0 è max quando $\theta = 0$

$\omega = 0$ quando $\theta = \theta_{\max}$

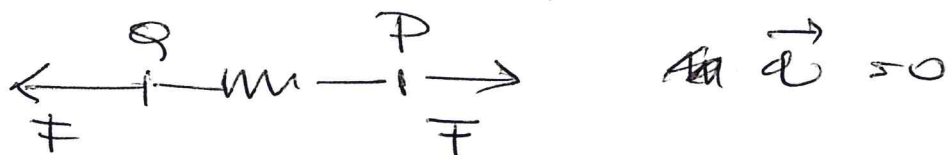
perché $\theta = 0 \rightarrow \cos \theta = 1$ è max
anche per il primo termine - La tensione
del filo è max a $\theta = 0$ e min a $\theta = \theta_{\max}$

F. Elastica - Empirica

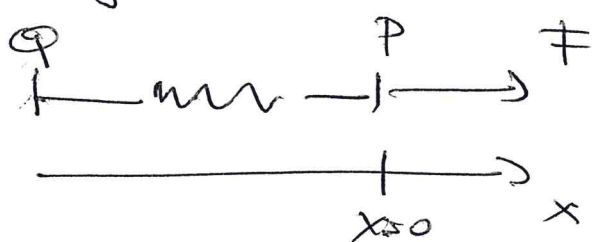
(1)

- * Descrivere resistenza dei materiali all'azione di forte di trazione e compressione
- * Dovuta alle forze elettriche di coesione interna dei materiali
- * Rappresentazione schematica: molla che si allunga/accorcia sotto l'azione esterna e riprende le proprie forme iniziali (configurazioni di equilibrio) quando l'azione cesse.
 - Qs proprietà, entro un certo intervallo di intensità delle forze, è comune a tutti i materiali
- * Obs. empirica: relazione tra deformazione Δx e forza F .

- * Situazione statica: due forze sui due estremi



- * Situazione statica semplificata (Q = punto fisso) (bloccato dell'azione di qualche forza), si studia l'allungamento di P -

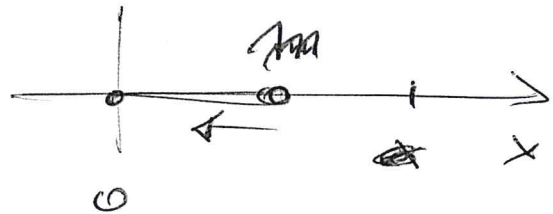


Equilibrium a x con legge $F_{ext} = F_{el}$ in equilibrio $k = \text{costante elastica}$

$$F_{ext} = -kx$$

Moto della molla del punto materiale
sotto l'azione della forza elastica (cioè della
forza di richiamo della molla) -

$$\vec{F} = -kx \hat{i}$$



$$M\ddot{x} = -kx$$

$$M \frac{d^2x}{dt^2} = -kx \quad (1)$$

* ~~Nella soluzione~~ Nell'analisi dei moti abbiamo trovato $x = x(t)$ partendo da $\sigma = \sigma(t)$ o da $a = a(t)$ per integrazione. Oppure da $\sigma = \sigma(x)$.

* Qui situazione differente:

$$M \frac{d^2x}{dt^2} + kx = 0 \quad \text{Eq. differenziale}$$

Lega la relazione di $x(t)$ a $\dot{x}(t)$ -

* Soluzioni generali Analisi II. Alcuni casi semplici in questo corso. ~~Basta~~ Il risultato è chiaro: $\frac{d^2x}{dt^2} = \text{accelerazione}$
 $x = \text{spostamento}$

Nella (1) acc. di spostamento -

Consideriamo qui la soluzione: ~~una~~

Eq. diff. mot. armonico semplice

(15)

$$\frac{d^2x}{dt^2} + \frac{k}{m} x = 0$$

$$x = A \cos(\omega t + \varphi)$$

$$\frac{d^3x}{dt^2} = -A\omega^2 \cos(\omega t + \varphi)$$

$$-A\omega^2 \cos(\omega t + \varphi) + A \frac{k}{m} \cos(\omega t + \varphi) = 0$$

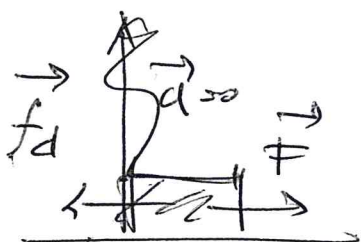
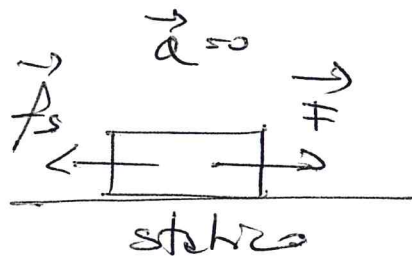
$$\Rightarrow \omega = \sqrt{\frac{k}{m}} \quad \text{freq. angolare del moto}$$

$$T = \frac{1}{2\pi} \sqrt{\frac{m}{k}} \quad \text{periodo di oscillazione}$$

* A e φ sono definiti dalle condizioni iniziali del moto

* ω e' definito dalla situazione dinamica

F. Attrito RADENTE



Empatica

(16)

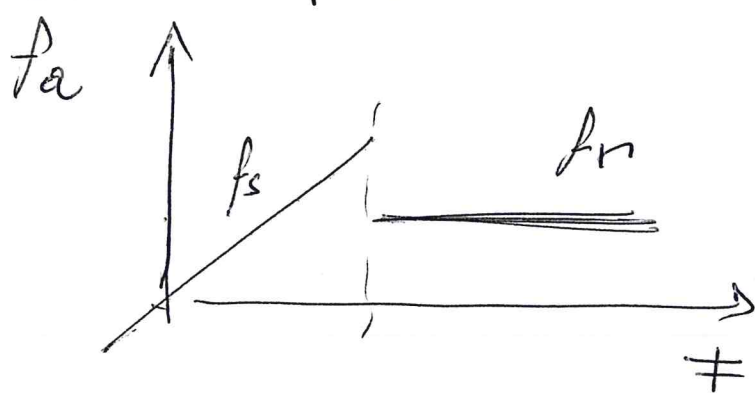
- Asperità, trabontà superflui

- forza opposta a N

SCORRIMENTO DELLE SUPERF

(attenzione non c'è in generale
opporsi al moto)

Relaz. empirica



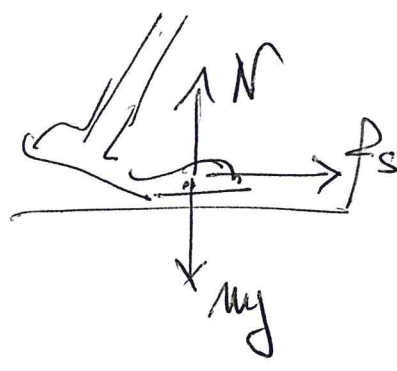
$$1) f_s \leq \mu_s N$$

$$2) f_r = \mu_r N$$

$$(\mu_s \text{ e } \mu_r \leq 1)$$

N = forza normale (attenzione dipende dalla
situazione, non è $N_{gravità}$)

E.s.



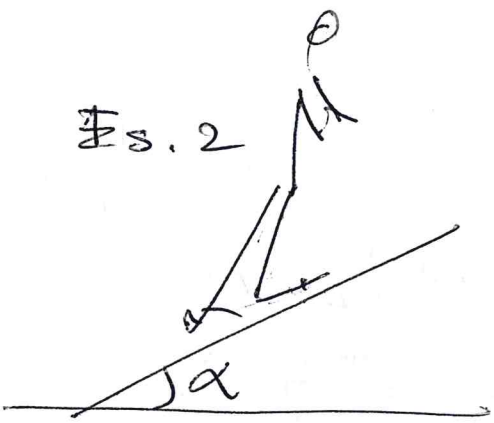
- moto per camminare
dovuto a f_s

- max accelerazione?

$$m a = f_s^{\max} = \mu_s m g$$

$$\boxed{a = \mu_s g}$$

$$\mu_s \leq 1$$



(17)

Condizioni per non scivolare in salita

Trovare $\max \alpha$
per μ_s -

Non scivolare \Rightarrow punto di appoggio in equilibrio statico $\sum \vec{F} = 0$

$$\vec{N} + \vec{F}_P + \vec{f}_s = 0$$

Axse normale al piano $\mu g \cos \alpha = N$

Axse parallelo al piano $\mu g \sin \alpha = f_s$

Angolo max, quando $\frac{\mu g \cos \alpha}{\mu g \sin \alpha} = f_s^{\max} = \mu_s N$

$$\Rightarrow \mu g \sin \alpha_{\max} = f_s^{\max} = \mu_s \mu g \cos \alpha$$

$$\mu_s = \frac{\sin \alpha}{\cos \alpha} \rightarrow \alpha = \tan^{-1}(\mu_s)$$

Note: f_s determina l'accelerazione del camminatore
non è opposta al moto, è opposta allo scontrimento
dalle superfici \rightarrow Azioni e reazioni

Attito viscoso

(18)

Legge empirica : $\vec{F}_a = -\gamma \vec{v}$

- Attito proporzionale alle velocità
→ (esempio paracadutista) e opposto a essa
- caratteristico della causa del moto di
effetti nei fluidi

Osservazione empirica : una forza esterna \vec{F}_T determina un moto asintotico (a t grande)
a velocità costante (v. di trascinamento)

$$t=0 \quad m \vec{F}_T \quad v_0=0 \quad \ddot{v} = \vec{F}_T/m$$

$$t_1 > t_0 \quad \vec{F}_a \leftarrow m \vec{F}_T \quad v \neq 0 \quad a = (\vec{F}_T - \vec{F}_a)/m$$

$$t_2 > t_1 \quad \vec{F}_a \leftarrow \vec{F}_T \quad a \rightarrow 0$$

$$t \text{ grande} \quad \vec{F}_a = -\vec{F}_T \quad v = v_T \quad a \rightarrow 0$$

Equilibrio dinamico

Eq. dinamica del moto viscoso

(19)

$$F_T - \eta v = ma$$

$$\text{Poniamo } v_T = F_T/\eta \quad e \quad k = \eta/m$$

Sostituendo e ragionando:

$$v - \frac{F_T}{\eta} = -\frac{m}{\eta} a$$

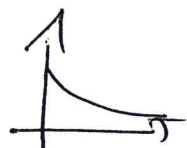
$$v - v_T = -\frac{dv}{kdt}$$

$$\text{ossia} \left[\frac{dv}{v - v_T} = -kdt \right]$$

Caso A : $F_T = 0$, $v_0 \neq 0$ (moto proiettile nel bezaglio)

$$\frac{dv}{v} = -kdt \xrightarrow{\text{Integr.}} v = v_0 e^{-kt}$$

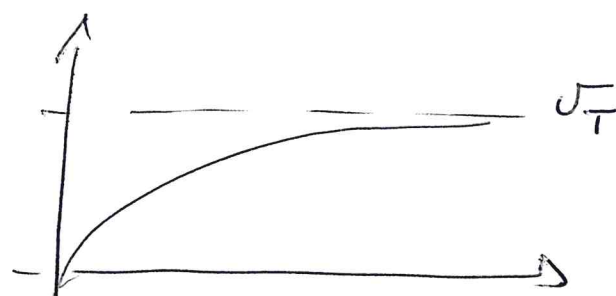
smorentamento esponenziale



Caso B : $F_T \neq 0$, $v_0 = 0$ (moto di decalmento) (paracatutto)

$$\log \left(\frac{v - v_T}{-v_T} \right) = -kt \xrightarrow{\text{Integr.}} v - v_T = -v_T e^{-kt}$$

$$v(t) = v_T (1 - e^{-kt})$$



$v_T = \frac{F_T}{\eta}$ velocità di decalmento